

Влияние параметров прямой цепи компенсационных акселерометров на их точностные характеристики

В.Е. Мельников

Аннотация: Рассмотрены возможности повышения точности маятниковых компенсационных акселерометров за счет рационального выбора коэффициентов звеньев прямой цепи

Ключевые слова: маятниковый компенсационный акселерометр; контурный коэффициент; структурная схема

Маятниковые компенсационные акселерометры являются наиболее прецизионными измерительными преобразователями, которые совместно с гироскопическими устройствами обеспечивают ... высокое качество систем ориентации и навигации подвижных объектов как в автономном, так и в корректируемом режимах. Достигается высокая точность преобразования за счет наличия главной отрицательной обратной связи (ГООС) при рациональном выборе величины контурного коэффициента. Вместе с тем в научно-технической литературе недостаточно отражены вопросы, связанные с влиянием нестабильности параметров звеньев прямой цепи на погрешность акселерометра в целом в зависимости от того, за счет каких звеньев достигается необходимое значение контурного коэффициента.

В задачу данной публикации входит анализ степени влияния инструментальной нестабильности элементов прямой цепи на суммарную погрешность акселерометра в зависимости от вклада соответствующих элементов в общий контурный коэффициент.

На рис.1. представлено упрощённое изображение маятника акселерометра с указанием сил и моментов сил и координат точек приложения сил, определяющих закон углового движения маятника. Принято, что упругий подвес маятника обеспечивает ему только одну угловую степень свободы относительно оси X_0 корпуса. Ось чувствительности акселерометра - Y_0 .

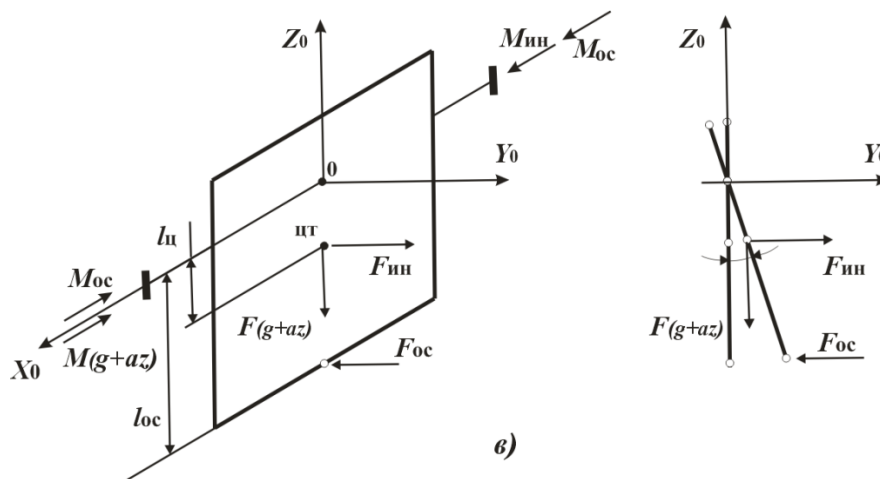


Рис. 1. Маятниковый компенсационный акселерометр. План сил и моментов сил

Закономерности относительного движения маятника акселерометра определяются дифференциальным уравнением вида:

$$J_M \ddot{\alpha}_M + K_d \dot{\alpha}_M + C_c \alpha_M = M_{ин} - M_{oc} - M_{(g \pm a_z)} + M_{\varepsilon_x}. \quad (1)$$

В левой части уравнения представлена неизменяемая часть маятника акселерометра, а правая – характеризует суммарные воздействия на маятник моментов: - $M_{ин} = ml_{ц} A_y \cos \alpha_M$ от сил инерции при наличии ускорений A_y по измерительной оси Y при изначально вертикальном расположении плеча маятника; - $M_{oc} = M_{oc_1} + M_{oc_2}$ обратной связи, $M_{oc_1} = M_1(\alpha_M) = C_{\varepsilon} \alpha_M$, $M_{oc_2} = M_2(\dot{\alpha}_M) = K_{d_1} \dot{\alpha}_M$, здесь M_{oc_1} и M_{oc_2} составляющие момента, определяющие соответственно позиционное и «скоростное» (демпфирующее) воздействия на маятник; - $M_{(g \pm a_z)} = ml_{ц}(g \pm a_z) \sin \alpha_M$ от ускорения сил тяжести и ускорения по оси Z_0 ; - $M_{\varepsilon_x} = J_x \varepsilon_x$ от углового ускорения ε_x относительно оси X_0 (на рис.1 не показаны), совпадающей с осью подвеса маятника.

На рис.2 представлена структурная схема маятникового компенсационного акселерометра, в которой влияние возможных инструментальных дрейфов элементов прямой цепи оценивается по эквивалентной помехе на выходе соответствующего звена. Тогда при исследовании характеристик акселерометра в качестве входного воздействия может быть принят полезный сигнал или помеха (возмущение) с соответствующей точке структуры.

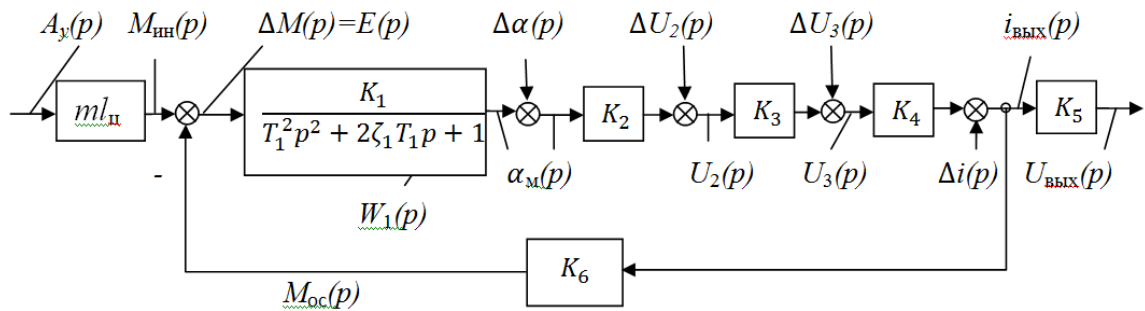


Рис. 2. Базовая структура маятникового компенсационного акселерометра с учетом возмущений

На структуре все воздействия представлены в виде изображений по Лапласу, как функции комплексной переменной Лапласа p . Здесь полезный сигнал – линейное ускорение объекта $A_y(t)$, направленное вдоль измерительной оси Y (рис.2.). Помехи $\Delta\alpha(t), \Delta U_2(t), \Delta U_3(t), \Delta i(t)$ – это медленно меняющиеся со временем нестабильности и дрейфы выходных сигналов элементов прямой цепи, обусловленные как внешними, так и внутренними причинами.

В структуре на рис.2 отражен только один (основной) вид движения маятника – поворот на угол α_m относительно оси подвеса и не учтены его возможные пространственные движения. Такой подход оправдан в рамках сформулированной задачи.

И, наконец, в анализируемой структуре не учитываются инерционные свойства других, кроме ЧЭ, функционально необходимых элементов; не рассматриваются дополнительные воздействия из-за наличия линейных ускорений по «не измерительным» осям X, Z (рис.1.), угловых ускорений относительно оси X .

Для структуры на рис.2 запишем передаточные функции звеньев. Передаточная функция маятника может быть представлена в виде:

$$W_I(p) = \frac{\alpha_m(p)}{\Delta M(p)} = \frac{1}{J_m p^2 + K_d p + C_c} = \frac{K_1}{T_1^2 p^2 + 2\zeta_1 T_1 p + 1}, \quad (2)$$

где α_m [рад] – угол отклонения маятника относительно нулевой точки датчика угла; $\Delta M = M_{ин} - M_{ос}$ [Нм] – соответственно разность инерционного момента и момента обратной связи, сформированного датчиком момента; J_m [кгм²] = [Нмс²] – момент инерции ЧЭ относительно оси подвеса; K_d [Нмс] – суммарный коэффициент скоростного демпфирования; C_c [Нм] – собственная угловая жесткость подвеса ЧЭ при отсутствии влияния силы тяжести; p – комплексная переменная Лапласа;

параметры типового колебательного звена $K_1 = \frac{1}{c_c} [1/\text{Нм}]$, $T_1 = \sqrt{\frac{J_M}{c_c}} [\text{с}]$, $\zeta_1 = \frac{K_d}{2\sqrt{J_M c_c}} -$

соответственно коэффициент передачи, постоянная времени, безразмерный коэффициент демпфирования.

Остальные элементы структуры – пропорциональные звенья с коэффициентами передачи $K_2 \dots K_6$:

$K_2 = \frac{U_2(p)}{\alpha_m(p)} [\text{В/рад}]$ – преобразователя угла отклонения α_m маятника в напряжение;

$K_3 = \frac{U_3(p)}{U_2(p)} [\text{В/В}]$ – операционного усилителя с коэффициентом усиления по напряжению K_3

и выходным напряжением $U_3(p)$; $K_4 = \frac{i_{\text{вых}}(p)}{U_3(p)} = \frac{1}{R_n + r_{oc}} - [\text{Ом}^{-1}]$ – токовой выходной цепи

усилителя ($i_{\text{вых}}(p)$ – ток на выходе усилителя, а R_n и r_{oc} – омические сопротивления

резистора нагрузки и катушки датчика момента); $K_5 = K_3 K_4 [\text{Ом}^{-1}]$ – электронной части

схемы, в которую обычно добавляют корректирующие устройства (КУ), необходимые для обеспечения устойчивости и заданного качества переходного процесса (тогда вместо K_5

имеем $W_3(p) = \frac{i_{\text{вых}}(p)}{U_2(p)} = K_5 W_{\text{ку}}(p) [\text{Ом}^{-1}]$, где передаточная функция КУ в простейшем случае

равна $W_{\text{ку}}(p) = \frac{T_2 p + 1}{T_3 p + 1}$, причем величины и задаваемое соотношение постоянных времени T_2

$< T_3$ соответствуют дифференцирующим свойствам КУ в районе частоты среза системы);

$K_6 = \frac{U_{\text{вых}}(p)}{i_{\text{вых}}(p)} = R_n [\text{Ом}]$ – выходной цепи акселерометра; $K_6 = \frac{M_{oc}(p)}{i_{\text{вых}}(p)} = K_{oc} [\text{Нм/А}]$ – датчика

момента, расположенного в цепи главной отрицательной обратной связи (ОС) и

характеризуемого коэффициентом K_{oc} , зависящим (для магнитоэлектрической системы

ОС) от параметров магнитной системы, активных элементов катушки обратной связи и

геометрии ЧЭ.

Для структуры на рис.2 передаточная функция акселерометра при наличии последовательного корректирующего звена равна:

$$W_{ay}(p) = \frac{U_{\text{вых}}(p)}{A_y(p)} = ml_{\text{ц}} R_n \frac{W_{\text{п}}(p)}{1 + W_p(p)}, \quad (3)$$

где $W_{\text{п}}(p) = \frac{i_{\text{вых}}(p)}{\Delta M(p)} = W_1(p) K_2 W_3(p)$ – передаточная функция прямой цепи;

$W_p(p) = \frac{M_{oc}(p)}{\Delta M(p)} = W_{\text{п}}(p) K_{oc}$ – передаточная функция разомкнутого контура главной

ОС, при этом в линейной системе размыкание можно провести в любой точке контура.

Согласно выражению (3) в статическом режиме, то есть, при $p = 0$, коэффициент передачи акселерометра равен:

$$K_a = W_{ay}(0) = ml_{\text{ц}} R_n \frac{K_{\text{п}}}{1 + K_p} [\text{Вс}^2 \text{м}^{-1}], \quad (4)$$

где $K_{\Pi} = \frac{K_2 K_3}{C_c} = \frac{K_2 K_3 K_4}{C_c} [A/НМ]$ – коэффициент передачи прямой цепи;

$K_p = W_p(0) = K_{\Pi} K_{oc} = \frac{C_3}{C_c}$ – коэффициент передачи разомкнутого контура (или

контурный коэффициент), величина безразмерная;

$C_3 = K_2 K_3 K_4 K_{oc} [НМ]$ – так называемая, «электрическая жесткость» акселерометра.

Ниже при анализе точностных характеристик акселерометра используются передаточные функции по возмущениям $\Delta\alpha$, ΔU_2 , ΔU_3 , Δi , представленным на рис.2, а также по ошибке.

В общем виде передаточная функция по возмущению имеет вид:

Уравнение ошибок акселерометра

Согласно выражению (4) и [1] уравнение ошибок может быть представлено в виде

$$dK_a = \frac{\partial K_a}{\partial m} dm + \frac{\partial K_a}{\partial l_{ц}} dl_{ц} + \frac{\partial K_a}{\partial R_H} dR_H + \frac{\partial K_a}{\partial K_{\Pi}} dK_{\Pi} + \frac{\partial K_a}{\partial K_{oc}} dK_{oc}. \quad (5)$$

После преобразований получим [1] уравнение ошибок компенсационного акселерометра в относительных единицах:

$$\frac{dK_a}{K_a} = \frac{dm}{m} + \frac{dl_{ц}}{l_{ц}} + \frac{dR_H}{R_H} + \frac{1}{1+K_p} \frac{dK_{\Pi}}{K_{\Pi}} - \frac{K_p}{1+K_p} \frac{dK_{oc}}{K_{oc}}, \quad (6)$$

где $K_p = K_{\Pi} K_{oc}$ – контурный коэффициент.

Как следует из (6), если $K_p \gg 1$, то наибольший вклад в статические ошибки акселерометра вносят звенья, не охваченные ГООС $\frac{dm}{m}, \frac{dl_{ц}}{l_{ц}}, \frac{dR_H}{R_H}$ и цепь обратной связи

$\frac{K_p}{1+K_p} \frac{dK_{oc}}{K_{oc}} \cong \frac{dK_{oc}}{K_{oc}}$, к которым следует обращать особое внимание. Это решаемая задача, и она решается.

Что касается элементов, охваченных ГООС - $\frac{1}{1+K_p} \frac{dK_{\Pi}}{K_{\Pi}}$, то при $K_p \gg 1$, на первый взгляд, все достаточно просто, влияние погрешностей всех элементов прямой цепи существенно ослабляются в соответствующее число раз. Но на самом деле это не так, поскольку в соответствии с рис.2 точки входа у них различные и потому и относительное влияние на характеристики акселерометра может отличаться.

Передаточные функции по возмущениям. Выбор параметров прямой цепи.

Рассмотрим передаточные функции замкнутой системы по отношению к различным возмущающим факторам инструментального характера, представленным на рис.2, проследим влияние помех на выходные характеристики, а также проанализируем

возможности и способы минимизации этого влияния при рациональном выборе параметров прямой цепи.

В качестве возмущений $\Delta\alpha, \Delta U_2, \Delta U_3, \Delta i_{\text{вых}}$ взяты возможные медленно меняющиеся во времени и обусловленные различными физическими причинами процессы дрейфа, неустойчивости, а также уходы и шумы в звеньях прямой цепи. Все возмущающие воздействия приведены к выходу соответствующего звена.

В связи с тем, что рассматриваемые помехи относятся к классу низкочастотных процессов, можно в исходной системе не учитывать корректирующее устройство, работающее в диапазоне средних частот, и принять $W_{\text{кв}}(p) = 1, W_3(p) = K_3 K_4$.

Тогда с учетом формул (2), (3) передаточные функции прямой цепи и разомкнутого контура запишем в виде:

$$\left. \begin{aligned} W_{\text{п}}(p) &= W_1(p) K_2 K_3 K_4 = \frac{K_{\text{п}}}{T_1^2 p^2 + 2\zeta_1 T_1 p + 1}, \\ W_{\text{р}}(p) &= W_{\text{п}}(p) K_{\text{ос}} = \frac{K_{\text{р}}}{T_1^2 p^2 + 2\zeta_1 T_1 p + 1}. \end{aligned} \right\} \quad (7)$$

Затем, опираясь на (4), передаточную функцию акселерометра для удобства дальнейших расчетов, выразим через передаточную функцию замкнутого контура $W_3(p)$.

$$\left. \begin{aligned} W_{A_y}(p) &= \frac{U_{\text{вых}}(p)}{A_y(p)} = m l_{\text{ц}} R_{\text{н}} W_3(p) \\ W_3(p) &= \frac{i_{\text{вых}}(p)}{M_{\text{ин}}(p)} = \frac{K_{\text{п}}}{(1+K_{\text{р}})(T_a^2 p^2 + 2\zeta_a T_a p + 1)}, \end{aligned} \right\} \quad (8)$$

где $T_a = \frac{T_1}{\sqrt{1+K_{\text{р}}}}, \quad \zeta_a = \frac{\zeta_1}{\sqrt{1+K_{\text{р}}}}$ - постоянная времени и относительный коэффициент

демпфирования замкнутого контура акселерометра.

На основании структуры на рис.2 для каждой помехи могут быть составлены структурная схема и соответствующая ей передаточная функция.

Передаточные функции по каналам помех, соответствующих звеньям прямой цепи, в виде:

- для помехи маятника

$$W_{\Delta\alpha}(p) = \frac{i_{\text{вых}}(p)}{\Delta\alpha(p)} = \frac{W_3(p)}{W_1(p)} = \frac{1}{K_1 K_{\text{ос}}} W_0(p); \quad (9)$$

- для помехи датчика угла

$$W_{\Delta U_2}(p) = \frac{i_{\text{вых}}(p)}{\Delta U_2(p)} = \frac{1}{K_1 K_2 K_{\text{ос}}} W_0(p), \quad (10)$$

- для помехи усилителя

$$W_{\Delta U_3}(p) = \frac{i_{\text{вых}}(p)}{\Delta U_3(p)} = \frac{1}{K_1 K_2 K_3 K_{\text{ос}}} W_0(p), \quad (11)$$

- для помехи резистивных цепей на выходе усилителя

$$W_{\Delta i}(p) = \frac{i_{\text{ВЫХ}}(p)}{\Delta i(p)} = \frac{1}{K_1 K_2 K_3 K_4 K_{\text{Ос}}} W_0(p). \quad (12)$$

В (9) – (12) $W_0(p)$ такова:

$$W_0(p) = \frac{K_p (T_1^2 p^2 + 2\zeta_1 T_1 p + 1)}{1 + K_p (T_a^2 p^2 + 2\zeta_a T_a p + 1)}. \quad (13)$$

На основании (9) – (13) выражение для выходного тока с учетом влияния неустойчивости параметров звеньев прямой цепи можно представить :

$$i_{\text{ВЫХ}}(p) = \frac{m l_{\text{ц}} K_{\text{п}}}{1 + K_p} \frac{1}{T_a^2 p^2 + 2\zeta_a T_a p + 1} A_y(p) + \frac{1}{K_1 K_{\text{Ос}}} W_0(p) [\Delta \alpha(p) + \frac{1}{K_2} \Delta U_2(p) + \frac{1}{K_2 K_3} \Delta U_3(p) + \frac{1}{K_2 K_3 K_4} \Delta i(p)]; \quad (14)$$

Таким образом, удельный вес рассматриваемых возмущений в выходном токе акселерометра, а значит и его погрешности от неустойчивостей и дрейфов в элементах прямой цепи, зависят от того, за счет каких звеньев достигается требуемое значение коэффициента передачи разомкнутого контура $K_p \gg 1$. Важно, чтобы это условие реализовывалось за счет коэффициента K_1 , так как именно он присутствует во всех ПФ. И значительно менее предпочтительно, если это значение K_p достигается за счет увеличения коэффициента усиления усилителя K_3 , и тогда возмущения $\Delta \alpha$ и ΔU_2 проходят на выход с очень малыми ослаблениями.

Библиографический список

1. Мельников В.Е. Электромеханические преобразователи на базе кварцевого стекла. – М.: Машиностроение, 1984 – 159 с., ил. – (Б-ка приборостроителя).
2. Мельникова Е.Н., Мельников В.Е. О некоторых особенностях маятниковых компенсационных акселерометров из кварцевого стекла. Совместная, н-т конференция МАИ – СЗПУ (КНР), 2007
3. Мельникова Е.Н., Мельников В.Е. Некоторые особенности компенсационных акселерометров с маятниковым чувствительным элементом на упругом подвесе. Авиакосмическое приборостроение, ООО Издательство «Научтехиздат», 2007 г. № .

Сведения об авторах

Мельников Валерий Ефимович профессор Московского авиационного института (национального исследовательского института); д.т.н.; тел. (495) 301 8225, e-mail: ve_melnik@mail.ru

